



تشخیص و تحلیل داده‌های پرت زمانی- مکانی مربوط به پارامترهای سرعت باد و فشار ایستگاه‌های هواشناسی کشور به منظور مطالعات تغییرات آب و هوایی

زهره جوانشیری^{*}، محسن رحمدل^۲، آزاده محمدیان^۳

^۱استادیار، گروه اقلیم‌شناسی کاربردی، پژوهشکده اقلیم‌شناسی، پژوهشگاه هواشناسی و علوم جو، مشهد

^۲دانش آموخته دکتری هواشناسی کشاورزی، دانشگاه فردوسی مشهد

^۳کارشناس ارشد پژوهشی، گروه اقلیم‌شناسی کاربردی، پژوهشکده اقلیم‌شناسی، پژوهشگاه هواشناسی و علوم جو، مشهد

تاریخ دریافت: ۱۴۰۰/۸/۲۰؛ تاریخ پذیرش: ۱۴۰۰/۹/۱۳

چکیده

تشخیص و تحلیل داده‌های پرت یکی از گام‌های ابتدایی مهم در تحلیل داده‌های است. یک داده پرت در سری‌های هواشناسی می‌تواند نشان دهنده‌ی یک رخداد فرین باشد یا خطای ناشی از اندازه گیری، پژوهشگاه هواشناسی و علوم جو، مشهد خطا انسانی یا نقص تجهیزات اندازه گیری هستند شناسایی نشده و حذف نگردد، به عنوان داده‌ی فرین ثبت خواهند شد و موجب اریبی در نتایج مطالعات اقلیمی می‌شوند. در این مقاله، داده‌های پرت سری‌های زمانی سرعت باد و فشار برای ۱۴۳ ایستگاه هواشناسی کشور در دوره نرمال اقلیمی ۱۹۹۱-۲۰۲۰ مورد تحلیل قرار گرفت. برای این منظور ابتدا داده‌های پرت مکانی با استفاده از الگوریتم کلایماتول مشخص شد و در مرحله دوم با تحلیل‌های زمانی و هواشناختی، خطاها شناسایی شدند. در مرحله اول برای پارامترهای فشار ایستگاه، فشار تبدیل شده ایستگاه به سطح دریا، فشار بخار، سرعت باد و سرعت باد مانکریم به ترتیب ۴۰، ۴۲، ۴۳، ۵۲، ۵۳، ۲۰، ۲۰، ۲۷، ۵۶ و ۲۰ تعداد از این داده‌ها خطا تشخیص داده شدند. این نتایج به تفکیک ایستگاه و تاریخ گزارش شده‌اند، تا مورد استفاده محققان در سایر مطالعات، بویژه مطالعات تغییر اقلیمی، قرار بگیرند.

واژه‌های کلیدی: تشخیص داده پرت، خطای، سرعت باد، فشار

زمانی، همچون داده‌های هواشناسی، داده پرت مکانی- زمانی، داده‌ای است که از سایر داده‌ها در همسایگی مکانی و زمانی خود به طور معنی داری متفاوت است (پرازنی، ۲۰۱۶). در سری‌های زمانی هواشناسی، داده پرت می‌تواند خطای یا یک رخداد فرین باشد. به منظور بالا بردن کیفیت داده‌ها، خطاها باید شناسایی و اصلاح شوند، در غیر اینصورت نتایج ناصحیحی را در مطالعات تغییر اقلیم شاهد خواهیم بود. لذا تشخیص داده‌های پرت و ماهیت آن‌ها اهمیت ویژه‌ای دارد.

مقدمه

روزانه حجم زیادی از داده‌های هواشناسی توسط تجهیزات و دستگاه‌های اندازه گیری مختلف در ایستگاه‌های هواشناسی کشور تولید می‌شود. این داده‌ها یکی از نیازهای اساسی محققین برای درک شرایط آب و هوایی و آشکارسازی تغییرات اقلیمی می‌باشند. یکی از مسائل مهم در ارتباط با داده‌های هواشناسی، تشخیص و تحلیل داده‌های پرت می‌باشد. داده پرت داده‌ای است که از بقیه‌ی داده‌ها فاصله زیادی دارد (بارنت، ۱۹۹۴). اما برای داده‌های مکانی-

مبتنی بر همسایگی است، برای تعیین نقاط پرت و بررسی همگنی سری‌ها ارائه کرد. در این روش، ابتدا ایستگاه‌های مرجع، که تغییر پذیری مشابهی با ایستگاه مورد نظر دارند، شناسایی می‌شوند و سری ایستگاه مورد نظر توسط ایستگاه‌های مرجع برآورده می‌شوند. سپس با استفاده از سری آنومالی (تفاضل مقدیر مشاهده شده و برآورده شده) استاندارد شده، داده‌های پرت تعیین می‌شوند. روش کلایماتول، روشی کارا و ساده برای تعیین داده‌های پرت ناشی از خطای می‌باشد و در بسیاری از مطالعات مورد استفاده قرار گرفته است (کل^{۱۳} و همکاران، ۲۰۲۰، آروفو^{۱۴} و کارلو^{۱۵}، ۲۰۱۹؛ اسکرینک^{۱۶} و همکاران، ۲۰۲۰).

سرعت باد و فشار، از پارامترهای مورد اهمیت در مطالعات اقلیمی هستند. تقاضای روزافزون برای منابع تجدیدپذیر انرژی در دهه‌های آینده (IEA^{۱۷}، ۲۰۱۳) مستلزم آن است که ما درک روشنی از منابع باد قابل دسترس و حساسیت این منابع در برابر تغییرات اقلیمی داشته باشیم (شفر^{۱۸} و همکاران، ۲۰۱۲). همینطور تغییر در فشار هوا تأثیر بزرگی بر تغییرات آب و هوایی دارد. فشار، گردش هوا را کنترل می‌کند، و بنابراین بر نحوه حرکت رطوبت تأثیر می‌گذارد. تغییرات در گردش هوا می‌تواند بارندگی، دما، باد و طوفان را تعییر دهد.

در این مقاله، به تشخیص و تحلیل داده‌های پرت سری‌های زمانی متوسط سرعت باد، بیشینه سرعت باد، فشار ایستگاه، فشار تبدیل شده ایستگاه به سطح دریا و فشار بخار، ۱۴۳ ایستگاه هوشناسی کشور برای دوره نرمال اقلیمی آخر (۱۹۹۱-۲۰۲۰) پرداخته‌ایم. از آنجا که هدف اصلی ما از این مطالعه، تعیین داده‌های پرت ناشی از خطای باد و بارندگی است، ابتدا با استفاده از روش کلایماتول، داده‌های پرت را تعیین کردیم و سپس برای اطمینان از این که داده‌های پرت تشخیص داده شده خطای هستند،

13. Coll

14. Aruffo

15. Carlo

16. Skrynyk

17. International Energy Agency

18. Schaeffer

تاکنون مطالعات زیادی در زمینه تعیین داده‌های پرت انجام شده است. آدام^۱ و همکاران (۲۰۰۴) از روش مبتنی بر فاصله، که یک روش مکانی است، برای تشخیص نقاط پرت استفاده کردند. چنگ^۲ و همکاران (۲۰۰۴) یک راه بسیار ساده برای تعریف داده پرت مکانی-زمانی ارائه دادند و یک روش چهار مرحله‌ای روشن برای تشخیص آن‌ها را پیشنهاد دادند. لو^۳ و لیانگ^۴ (۲۰۰۴) یک روش کلاس‌بندی فازی موجک^۵ را برای تشخیص داده‌های پرت هوشناسی ارائه کردند. یوکیانگ و همکاران (۲۰۰۵) روش فرمول بندی شده‌ای را برای تعریف داده‌های پرت در داده‌های شبکه‌ای مکانی-زمانی معرفی کردند. هدف آن‌ها تشخیص داده‌های پرت معنی‌دار در مجموعه داده‌های هوشناسی بود. وو^۶ و همکاران (۲۰۱۰)، الگوریتمی را جهت شناسایی داده‌های پرت مکانی-زمانی بارش ارایه کردند. سپس با استفاده از این الگوریتم دنباله‌ی داده‌های پرت را برای داده‌های بارش امریکای جنوبی تعیین کرده و با مقایسه آن‌ها با فاز انسو^۷ (ENSO)، به به تحلیل آن‌ها پرداختند. در مطالعات ذکر شده هدف اصلی از تعیین داده‌های پرت، مشخص کردن رخدادهای فرین بوده است. اما مطالعاتی برای تشخیص داده‌های پرت ناشی از خطای و تصحیح آن‌ها، با هدف بالا بردن کیفیت داده‌ها، نیز انجام شده است. ما^۸ و همکاران (۲۰۱۷)، برای شناسایی داده‌های پرت دما الگوریتمی را بر اساس پیش‌بینی پنجره‌ای کشویی^۹ پیشنهاد دادند. رانجان^{۱۰} و همکاران (۲۰۲۰)، روش پیش‌بینی پنجره‌ای کشویی اصلاح شده را برای تشخیص و اصلاح داده‌های پرت ارائه کردند. گویجارو^{۱۱} (۲۰۱۸)، الگوریتم کلایماتول^{۱۲} را که روشی

1. Adam

2. Cheng

3. Lu

4.. Liang

5. Wavelet fuzzy classification

6. Wu

7. El Ni~no Southern Oscillation

8. Ma

9. Sliding Window Prediction

10. Ranjan

11. Guijarro

12. CLIMATOL

۱۴۳ ایستگاه می‌باشد که موقعیت این ایستگاه‌ها در شکل (۱) نشان داده شده است. پارامترهای مورد بررسی در این تحقیق، فشار سطح ایستگاه، فشار تبدیل شده ایستگاه به سطح دریا، فشار بخار، متوسط سرعت باد و سرعت باد ماکریم می‌باشند که داده‌های مربوط به آن‌ها از سازمان هواشناسی کشور دریافت شدند.

بررسی‌های زمانی و هواشناختی با توجه به ماهیت یا امتر انجام شد.

مواد و روش‌ها

منطقه مورد مطالعه: منطقه مورد مطالعه در این تحقیق کشور ایران است و تعداد ایستگاه‌های همدیدی که دوره ۱۹۹۱-۲۰۲۰ را پوشش می‌دهند،



شکل ۱: موقعیت ایستگاه‌های مورد مطالعه

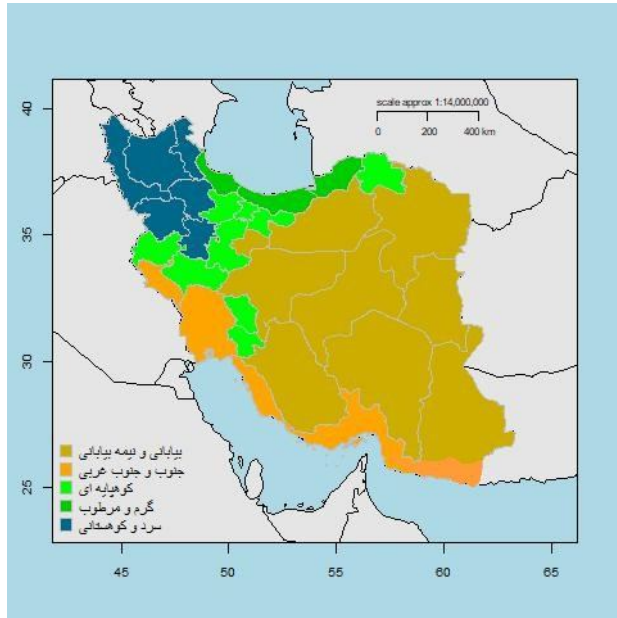
خراسان جنوبی و رضوی.

- نواحی جنوب و جنوب غربی، شامل استان‌های خوزستان، ایلام، بوشهر، هرمزگان و جنوب سیستان و بلوچستان.
 - نواحی کوهپایه‌ای، شامل استان‌های تهران، مرکزی، قزوین، چهارمحال و بختیاری، کرمانشاه و خراسان شمالی.
 - نواحی گرم و مرطوب، شامل استان‌های گیلان، مازندران و گلستان.
 - نواحی سرد و کوهستانی، شامل استان‌های آذربایجان غربی و شرق، اردبیل، استان‌های روی رشتہ کوه زاگرس، کردستان، همدان و زنجان.

روش کار

ابتدا کشور براساس مشخصه‌های آب و هوای خوشبندی شد. در مطالعاتی که در این زمینه صورت گرفته است، عمدتاً از روش‌های تحلیل خوشبندی و مؤلفه‌های اصلی استفاده شده‌اند (توکلی و محمدیان، ۱۳۸۲؛ مسعودیان، ۱۳۸۲؛ علیجانی، ۱۳۸۵؛ بدری پور، ۱۹۹۲). بر اساس نتایج مطالعات فوق، می‌توان ایران را به ۵ ناحیه تقسیم‌بندی کرد (رحیمزاده و نساج زواره، ۲۰۱۴). همانطور که در شکل (۲) نشان داده شده است، این خوشبندی‌ها عبارتند از:

- نواحی بیابانی و نیمه بیابانی شامل استان های قم، اصفهان، یزد، کرمان، سیستان و بلوچستان،



شکل ۲- خوشبندی ایران براساس مشخصه‌های آب و هوایی

- پس از تعیین داده‌های پرت با استفاده از الگوریتم کلایماتول، با بررسی‌های هواشناختی با توجه به ماهیت پارامتر مورد مطالعه، خطا بودن داده‌های پرت را بررسی می‌کنیم. بررسی‌هایی که انجام شد، به شرح زیر می‌باشد:
- داده مورد نظر در دامنه کمینه و بیشینه پارامتر مورد نظر قرار دارد یا خیر. اگر در این دامنه قرار ندارد، خطا است.
 - داده مورد نظر با داده‌های ساعتی ثبت شده در همان تاریخ مقایسه می‌شود، در صورتی که با داده‌های ساعتی همخوانی نداشت به عنوان خطا در نظر گرفته می‌شود.
 - اگر در داده‌های ساعتی اختلاف زیادی وجود داشت، وقوع پدیده‌های خاص در آن روز بررسی می‌شود. در صورتی که پدیده خاصی رخ نداده باشد، داده مورد نظر به عنوان خطا ثبت می‌شود.
 - اگر داده ساعتی موجود یا کافی نبود با داده‌های روزهای قبل و بعد مقایسه می‌شود و در صورت عدم همخوانی به عنوان خطا ثبت می‌شود.
 - برای پارامتر فشار بخار از روابطی که بین فشار بخار با رطوبت نسبی و دمای خشک وجود دارد، نیز استفاده گردید. در صورتی که داده‌های ساعتی این پارامتر با هم همخوانی نداشتند، به بررسی

هدف از خوشبندی اولیه، این است که ایستگاه‌های مرجع از بین ایستگاه‌هایی که در شرایط نسبتاً مشابه اقلیمی با ایستگاه مورد نظر قرار دارند، انتخاب شوند. حال الگوریتم کلایماتول با استفاده از نرم‌افزار R، برای هر خوشبندی طور جداگانه اجرا می‌شود. مراحل کار الگوریتم کلایماتول به صورت زیر است:

گام اول: برای هر ایستگاه، ایستگاه‌های مرجع بر اساس تغییرپذیری پارامتر مورد نظر تعیین می‌شوند.
گام دوم: سری مربوط به هر ایستگاه با استفاده از سری‌های مرجع آن ایستگاه برآورد می‌شوند. این برآورد به روش رگرسیون نوع II (رگرسیون عمودی) می‌باشد.

گام سوم: سری آنومالی که عبارت است از تفاضل مقدار مشاهده شده و برآورد شده محاسبه شده و استاندارد می‌شوند.

گام چهارم: نمودار هیستوگرام آنومالی‌های استاندارد شده، رسم می‌شوند.

گام پنجم: با توجه به هیستوگرام رسم شده، آستانه‌ها برای تعیین داده‌های پرت مشخص می‌شوند.

گام ششم: آنومالی‌هایی که کوچکتر یا بزرگتر از آستانه‌های تعیین شده، وجود داده‌ی پرت را نشان می‌دهند.

این نمودارها، آستانه‌های مورد نیاز برای تعیین داده‌های پرت مشخص می‌شود. آستانه‌ها با توجه به شکل هیستوگرام تعیین می‌شوند. مقادیری که در دمهای توزیع قرار دارند و در شکل‌ها با رنگ قرمز مشخص شده‌اند، در واقع نشان‌دهنده مقادیر آنومالی استاندارد شده‌ای از فشار سطح ایستگاه هستند که تفاوت زیادی با ایستگاه‌های مرجع شان دارند و به عنوان داده پرت شناخته می‌شوند. به طور مثال در خوشة اول، با توجه به شکل توزیع آستانه‌ها ۲۵-۲۰ و تعیین شده‌اند و آنومالی‌هایی که بیشتر از ۳۰ و یا کمتر از ۲۵- باشند، نشان‌دهنده داده پرت هستند.

برای آنومالی‌هایی که خارج از آستانه‌های تعیین شده قرار دارند، مشخصات ایستگاه و تاریخ مربوطه به همراه داده مشاهداتی ثبت شده استخراج شد. سپس برای تعیین این که، این نقاط خطای هستند یا خیر، به بررسی‌های هواشناختی پرداختیم. برای این کار ابتدا بررسی شد که داده مورد نظر در دامنه فشار سطح زمین قرار داشته باشد، به‌طور مثال برای ایستگاه رامسر در تاریخ ۱۶/۰۴/۲۰۱۶، مقدار ۲۱۸۳.۵۵ ثبت شده است که در دامنه مورد نظر نیست و مسلماً خطای می‌باشد. سپس داده‌های ساعتی آن روز مورد بررسی قرار گرفت، اگر داده مورد نظر با داده‌های ساعتی همخوانی نداشت، خطای محسوب شد. برای ایستگاه‌های شهرضا، انار، فیروزکوه و آستارا این مشکل وجود داشت. در صورتی که داده‌های ساعتی در روز مورد نظر کافی نبود، با داده‌های روزهای قبل و بعد مقایسه شد. ۱۳ مورد خطای تشخیص داده شده مربوط به ایستگاه‌های جم و درودزن از این نوع بودند. به طور کلی، از بین ۴۰ داده پرت تشخیص داده شده توسط الگوریتم کلایماتول ۲۰ داده خطای بودند. این خطاهای مربوط به ایستگاه‌های شهرضا، انار، درودزن، جم، فیروزکوه، آستارا و رامسر می‌باشند. ایستگاه و تاریخ مربوط به خطاهای در جدول (۱) آمده است.

دمای خشک و رطوبت نسبی پرداخته شد. در مواردی که رطوبت نسبی و دمای خشک صحیح به نظر می‌رسید، مجدداً از طریق نرم‌افزار Mettabwin به محاسبه فشاربخار موردنظر پرداخته شد. در صورتی که مقدار محاسبه شده با مقدار ثبت شده تفاوت داشت، به عنوان خطای نظر گرفته شد.

رگرسیون عمودی یا نوع II: روش رگرسیون عمودی اولین بار توسط پالوس^۱ و کوهلر^۲ (۱۹۵۲) برای برآورد داده‌های گمشده بارش ارائه شد. در رگرسیون نوع II، فاصله عمودی نقاط تا خط رگرسیون کمینه می‌شود، در صورتی که در رگرسیون نوع I، انحراف نقاط تا خط رگرسیون در راستای محور yها می‌نیمم می‌شوند. داگت^۳ (۱۹۷۹)، معادله خط رگرسیون نوع II را به روش کمترین مربعات به دست آورد. جایگزین‌هایی برای این معادله با تقریب‌های بسیار نزدیک وجود دارند، ساده‌ترین آن‌ها RMA^۴ نام دارد و به صورت رابطه (۱) نشان داده می‌شود.

$$(1) \hat{y} = \alpha + \beta x$$

در رابطه فوق، x و y مقدار نرمال شده متغیرهای مستقل و وابسته هستند، که به ترتیب در رابطه (۲) و (۳) نشان داده شده است.

$$(2) \alpha = \frac{\sum m_x}{\sum s_x}$$

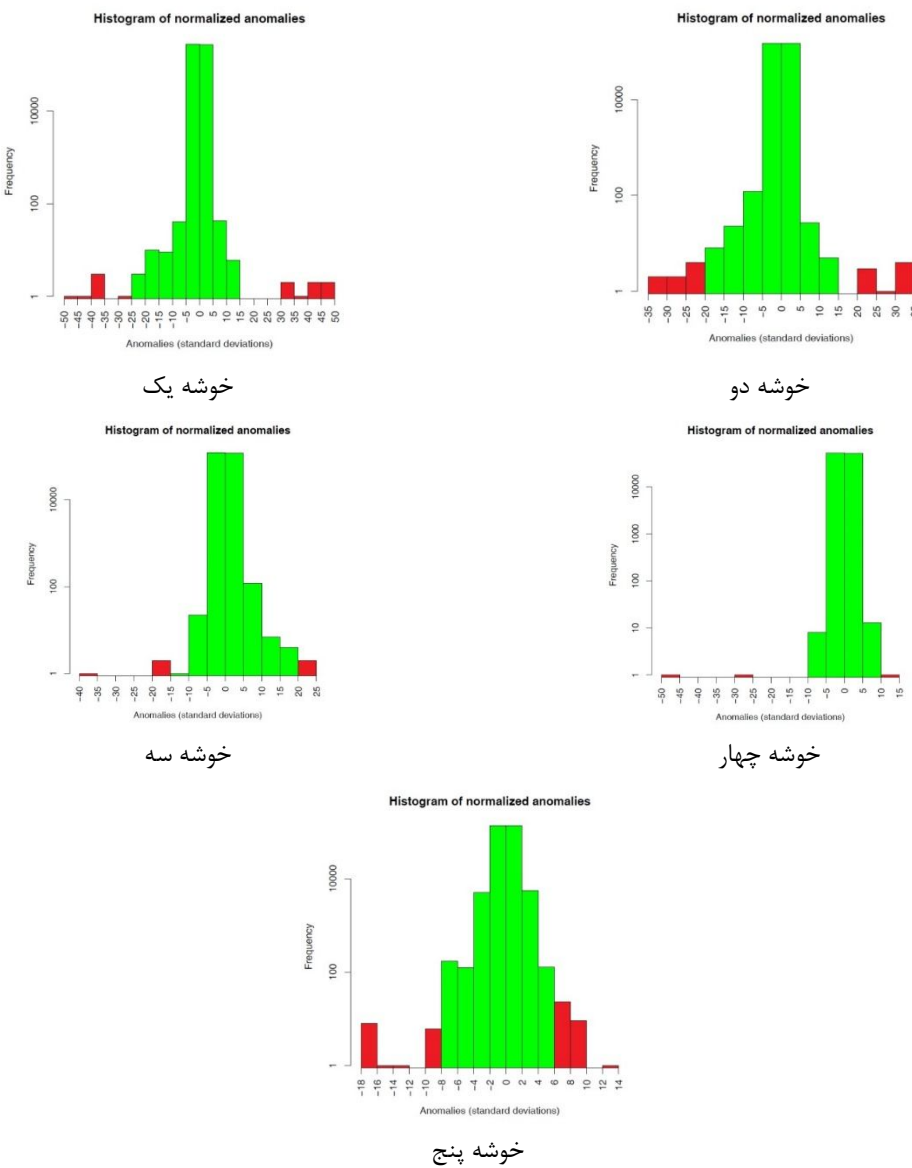
$$(3) \beta = \frac{\sum Y - my}{\sum s_y}$$

در روابط فوق، m و s به ترتیب میانگین و انحراف معیار هستند.

یافته‌های تحقیق

۱. **فشار سطح ایستگاه (QFE):** شکل (۳) هیستوگرام آنومالی داده‌های فشار سطح ایستگاه را برای ۵ خوشه به تفکیک نشان می‌دهد. با استفاده از

-
1. Paulhus
 2. Kohler
 3. Daget
 4. Reduced Major Axis



شکل ۳: هیستوگرام آنومالی استاندارد شده داده‌های فشار سطح ایستگاه (QFE) به تفکیک در هر خوشه برای تشخیص حدود داده‌های پرت

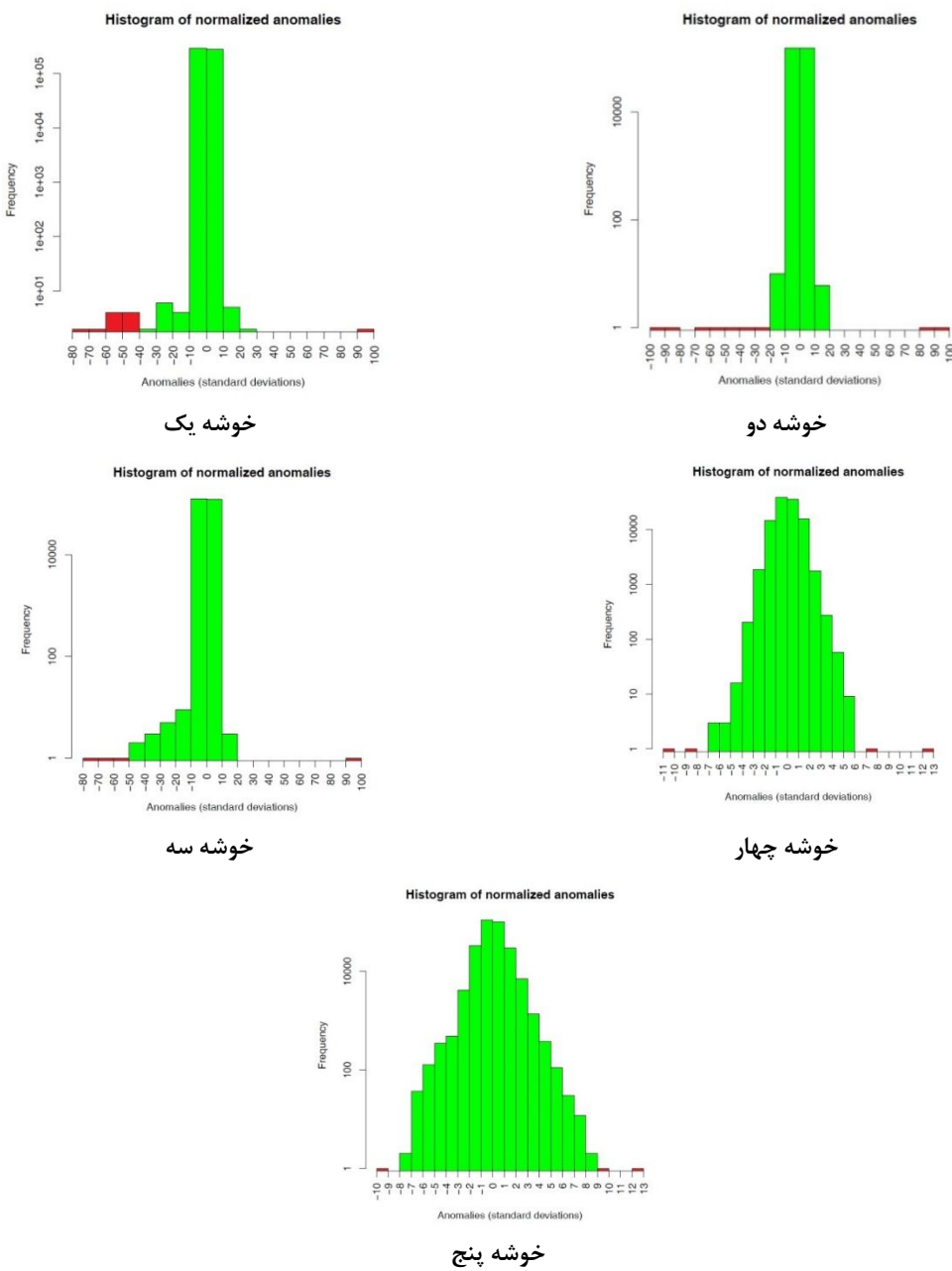
مشخص شده‌اند. داده‌های پرت مشخص شده با استفاده از این آستانه‌ها تعیین شدند. برای تشخیص خطاهای به تحلیل هواشناختی همانند آنچه در بخش قبل گفته شد پرداختیم. برای ایستگاه‌های نیشاپور، تربت جام، آباده، لار، خااش، جم، اراك، سیرجان، قراخلیل و زرینه خطاهایی مشخص شدند. خطاهای مربوط به مورد ایستگاه‌های سیرجان، قراخلیل و زرینه به دلیل عدم همخوانی آن‌ها با داده‌های ساعتی بود اما در مورد سایر ایستگاه‌ها، مقادیری که خط تشخیص داده شده‌اند، خارج از دامنه متعارف تغییرات فشار

شکل (۶) فراوانی خطاهای و داده‌های پرت فشار ایستگاه را به تفکیک در هر خوشه نشان می‌دهد، همانطور که مشاهده می‌شود تعداد خطاهای در خوشه یک و دو بیشتر از سایر مناطق است و بیشتر این خطاهای مربوط به دو ایستگاه جم و درودزن می‌باشند.

۲. فشار تبدیل شده ایستگاه به سطح متوسط دریا در دمای واقعی (QFF): شکل (۴) هیستوگرام آنومالی داده‌های فشار تبدیل شده ایستگاه به سطح متوسط دریا را برای هر خوشه نشان می‌دهد. آستانه تعیین شده برای تشخیص داده‌های پرت، در شکل‌ها

هر خوش نشان می‌دهد، همانطور که مشاهده می‌شود تعداد داده‌های پرت تشخیص داده شده و همینطور خطاهای در خوش یک بیشتر از سایر مناطق است و این امر با توجه به اینکه خوش یک ایستگاه‌های بیشتری را شامل می‌شود قابل انتظار است.

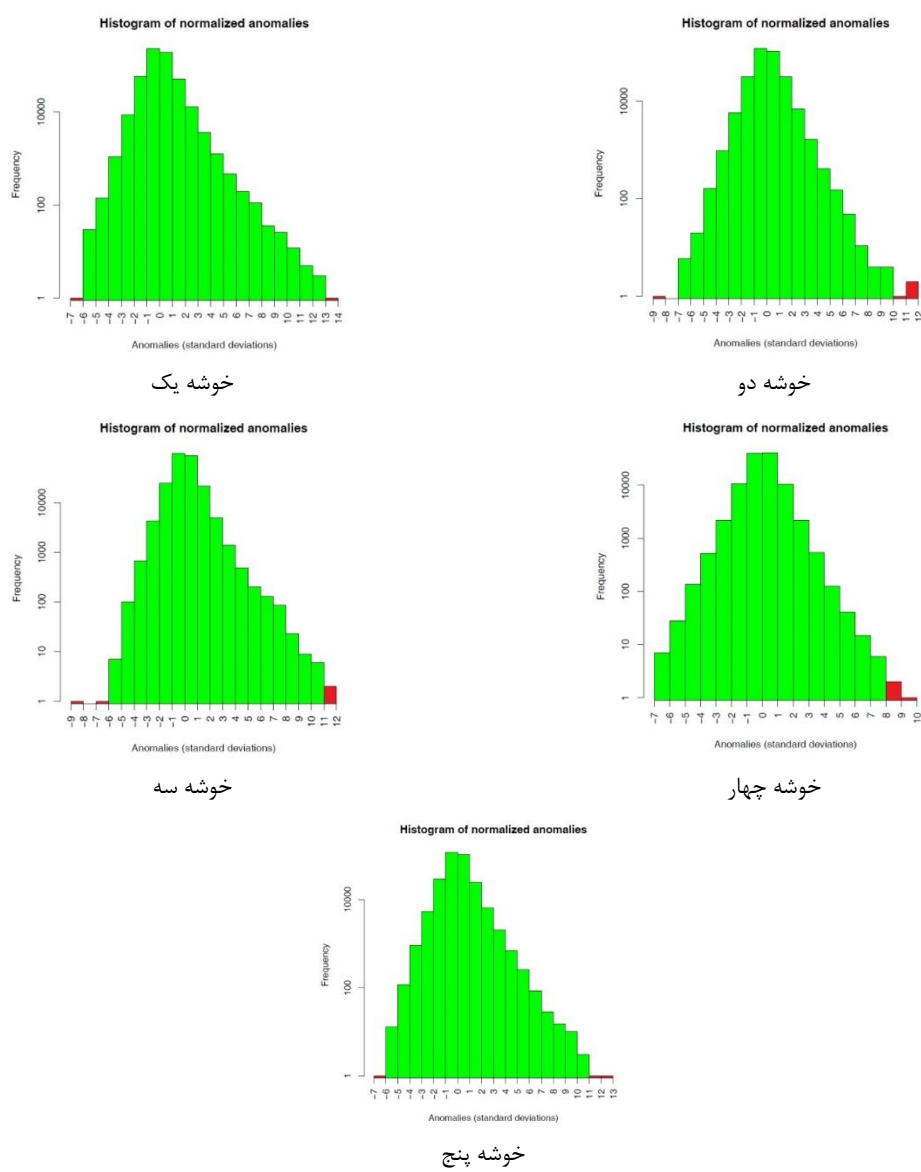
سطح دریا در ایستگاه بودند. به طور کلی از بین ۴۲ داده پرت تشخیص داده شده توسط الگوریتم کلاماتول ۱۰ داده خطا بودند. ایستگاه و تاریخ مربوط به خطاهای در جدول (۱) آمده است. شکل (۶) فراوانی خطاهای و داده‌های پرت فشار (QFF) را به تفکیک در



شکل ۴- هیستوگرام آنومالی داده‌های فشار تبدیل شده ایستگاه به سطح متوسط دریا (QFF) به تفکیک در هر خوش برای تشخیص حدود داده‌ای پرت

۱-۲- ثبت شده است، یا ایستگاه گلپایگان از تاریخ ۹/۵/۲۰۱۸ تا ۲۳/۶/۲۰۱۸ مقادیر منفی ثبت شده است، که با توجه به اینکه فشار بخار نمی‌تواند منفی باشد، خطاب محسوب می‌شوند. در گام دوم داده‌های ساعتی روز مورد نظر بررسی شد، در صورتی که مقدار ثبت شده با داده‌های ساعتی همخوانی نداشت، آن را خطاب در نظر گرفتیم.

۳. فشار بخار: شکل (۵) هیستوگرام آنومالی فشار بخار را به تفکیک در ۵ خوش نشان می‌دهد. نواحی قرمز در شکل نشان‌دهنده آنومالی مربوط به داده‌های پرت است. برای تشخیص خطاهای، در گام اول بررسی شد که داده‌ها در دامنه استاندارد قرار دارد یا خیر. اگر داده ثبت شده در دامنه استاندارد فشار بخار قرار نداشت به عنوان خطاب در نظر گرفته شد. به طور مثال در مورد ایستگاه گلمکان در تاریخ ۱/۱۹/۲۰۱۸ مقدار



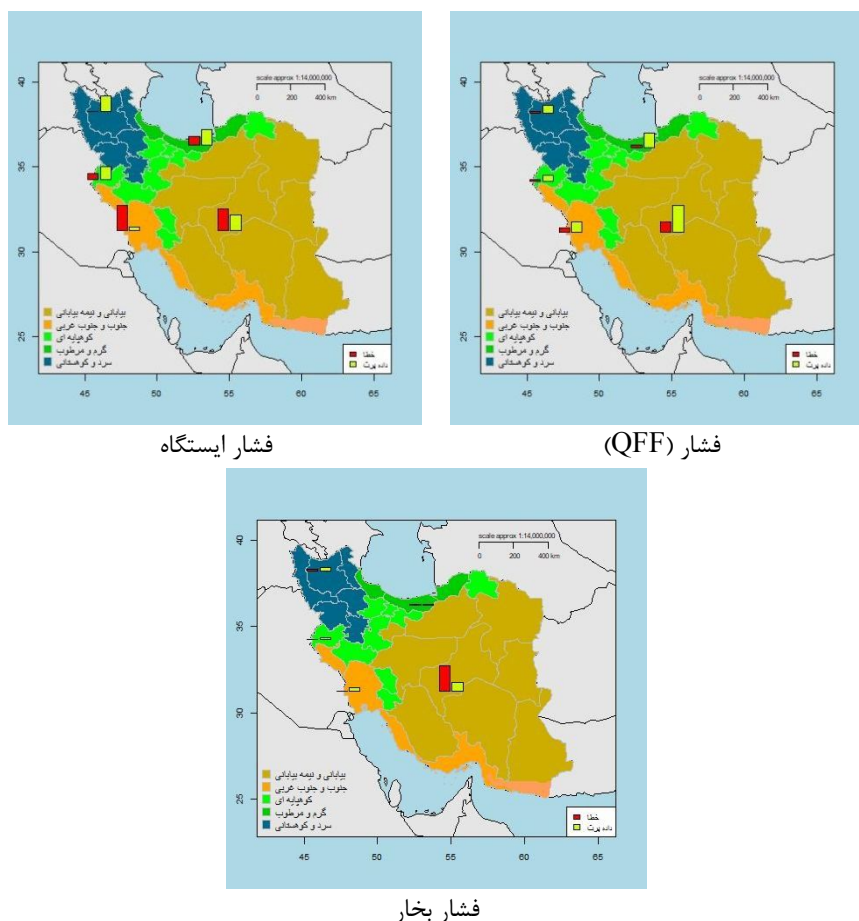
شکل ۵- هیستوگرام آنومالی داده‌های فشار بخار به تفکیک در هر خوش برای تشخیص حدود داده‌های پرت

مورد ایستگاه‌های خوروبیابانک، بستان، آبلی، بندر انزلی، نوشهر، سراب و مهاباد مقادیر خطای تشخیص

۴. در صورتی که داده‌های ساعتی کامل نبودند، به بررسی دمای خشک و رطوبت نسبی پرداخته شد. در

کلی ۹۳ داده پرت در مرحله اول شناسایی شد، در تحلیل مرحله دوم ۵۶ داده خطای تشخیص داده شدند که از این تعداد ۴۶ داده مربوط به ایستگاه گلپایگان می‌باشد. بعد از بررسی‌های انجام شده مشخص شد که علت خطای در فشار بخار ایستگاه گلپایگان ناشی از خطای ثبت رطوبت می‌باشد که در تاریخ‌های ذکر شده، صفر ثبت شده‌اند. ایستگاه و تاریخ خطایها به تفکیک در جدول (۱) آمده است. شکل (۶) فراوانی خطایها و داده‌های پرت فشار بخار را به تفکیک در هر خوشه نشان می‌دهد، همانطور که مشاهده می‌شود، داده‌های پرت و تعداد خطایها در خوشه یک بسیار بیشتر از سایر خوشه‌های است و علت آن همان ایستگاه گلپایگان می‌باشد.

داده‌شده به دلیل عدم همخوانی فشار بخار با رطوبت نسبی ثبت شده بود. در مواردی که رطوبت نسبی و دمای خشک صحیح به نظر می‌رسید، فشار بخار مجددًا از طریق نرم افزار Mettabwin محاسبه شد و در صورت تفاوت با مقدار ثبت شده، خطای در نظر گرفته شد. به طور مثال برای ایستگاه شهر بابک با استفاده از الگوریتم کلایماتول ۵ داده پرت تشخیص داده شد، با توجه به اینکه داده‌های ساعتی برای تاریخ‌های مورد نظر موجود نبودند، دمای خشک و رطوبت نسبی روزهای مورد نظر بررسی شد و در نهایت با استفاده از نرم افزار Mettabwin، فشار بخار دوباره محاسبه شد و نتیجه این بررسی نشان داد که این داده‌ها خطای محسوب نمی‌شوند. اما در مورد ایستگاه بافق و زرینه خطایها به دلیل اشتباہ در محاسبه بودند. به طور



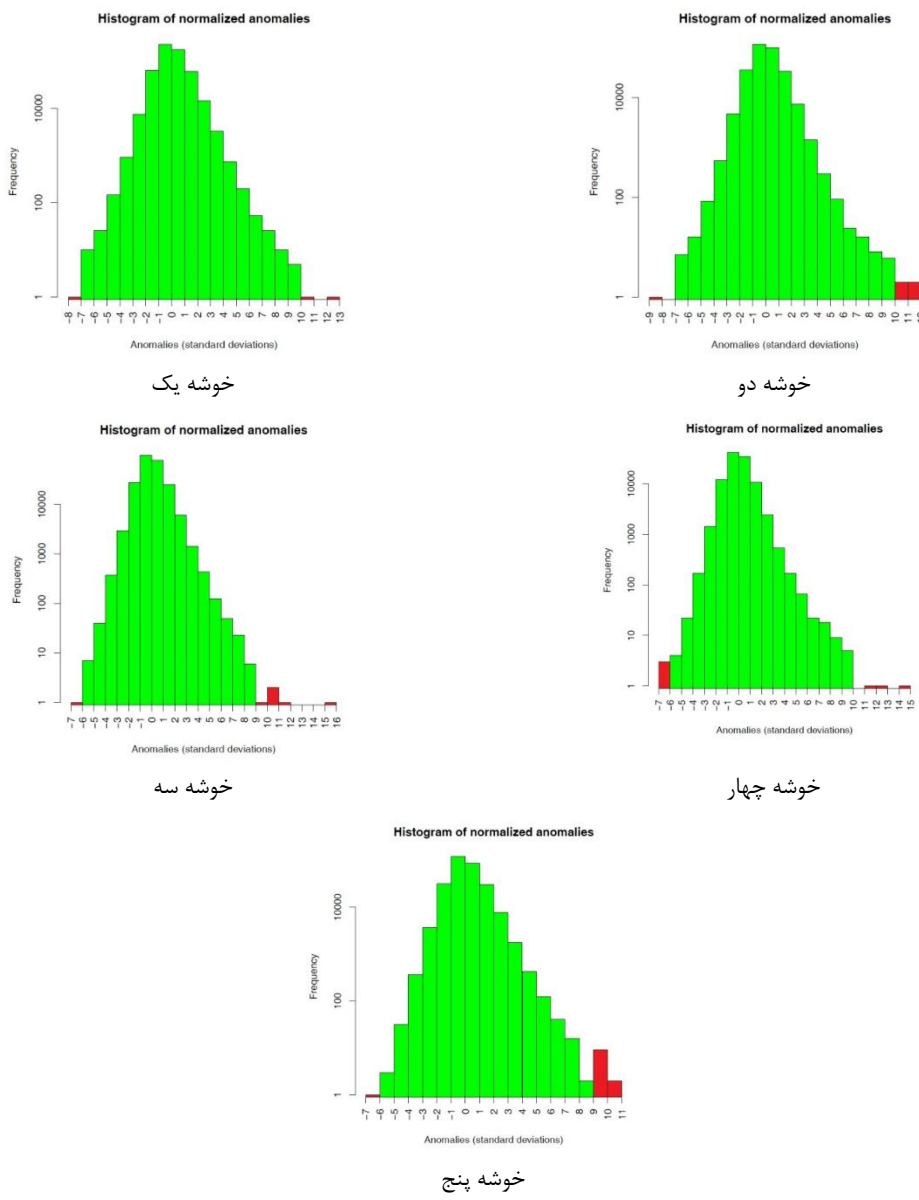
شکل ۶- فراوانی خطایها و داده‌های پرت پارامترهای فشار QFF، QEF و فشار بخار در هر خوشه

جدول ۱- خطاهای تشخیص داده شده برای داده‌های QEE، QFE و فشار بخار

خوشه	فشار بخار (QFF)	فشار ایستگاه (QFE)	مشاهداتی	نام ایستگاه	تاریخ	مقدار مشاهداتی	نام ایستگاه	تاریخ	مشاهداتی	نام ایستگاه	تاریخ	مشاهداتی
۱				شهرضا	۱۳۰/۲/۲۷	۷۹۸,۴	آذار	۱۰۵/۵/۱۰	۸۴۴,۹	نیشابور	۱۴۰/۶/۰	۸۸۴,۵
۲				۱۰۰/۰/۰	۱۰۰/۰/۰	۱۰۰/۰/۰	درودزن	۱۰۰/۰/۰	۱۰۰/۰/۰	ترت جام	۱۴۰/۰/۰	۹۱۸,۴
۳				۱۰۰/۰/۰	۱۰۰/۰/۰	۱۰۰/۰/۰	آباده	۱۰۰/۰/۰	۱۰۰/۰/۰	سپریجان	۱۴۰/۰/۰	۱۰۱۶,۵
۴				۱۰۰/۰/۰	۱۰۰/۰/۰	۱۰۰/۰/۰	لار	۱۰۰/۰/۰	۱۰۰/۰/۰	گلپایگان	۱۴۰/۰/۰	۲۱۳۷,۹
۵				۱۰۰/۰/۰	۱۰۰/۰/۰	۱۰۰/۰/۰	خواش	۱۰۰/۰/۰	۱۰۰/۰/۰	باقق	۱۴۰/۰/۰	۲۰۱۰,۵
۶				۱۰۰/۰/۰	۱۰۰/۰/۰	۱۰۰/۰/۰	گلپایگان از	۱۰۰/۰/۰	۱۰۰/۰/۰	گلپایگان از	۱۴۰/۰/۰	۱۰۱۸,۵
۷				۱۰۰/۰/۰	۱۰۰/۰/۰	۱۰۰/۰/۰	سشن	۱۰۰/۰/۰	۱۰۰/۰/۰	مقدابیر منفي	۱۴۰/۰/۰	۲۳۲۶,۸
۸				۱۰۰/۰/۰	۱۰۰/۰/۰	۱۰۰/۰/۰	فیروزکوه	۱۰۰/۰/۰	۱۰۰/۰/۰	فیروزکوه	۱۴۰/۰/۰	۱۰۱۹,۴
۹				۱۰۰/۰/۰	۱۰۰/۰/۰	۱۰۰/۰/۰	آستانه	۱۰۰/۰/۰	۱۰۰/۰/۰	آستانه	۱۴۰/۰/۰	۱۰۰/۰/۰
۱۰				۱۰۰/۰/۰	۱۰۰/۰/۰	۱۰۰/۰/۰	آستانه	۱۰۰/۰/۰	۱۰۰/۰/۰	آستانه	۱۴۰/۰/۰	۱۰۰/۰/۰
۱۱				۱۰۰/۰/۰	۱۰۰/۰/۰	۱۰۰/۰/۰	آستانه	۱۰۰/۰/۰	۱۰۰/۰/۰	آستانه	۱۴۰/۰/۰	۱۰۰/۰/۰
۱۲				۱۰۰/۰/۰	۱۰۰/۰/۰	۱۰۰/۰/۰	آستانه	۱۰۰/۰/۰	۱۰۰/۰/۰	آستانه	۱۴۰/۰/۰	۱۰۰/۰/۰

روزهای قبل و بعد آن مورد بررسی قرار گرفت. همینطور با رفتار پارامتر در دوره آماری ماه مورد نظر مورد مقایسه قرار گرفت. در مرحله اول ۵۲ داده پرت تشخیص داده شده است، که از این تعداد ۲۰ داده خطای بودند. خطاهای در جدول (۲) آمده‌اند، همانطور که مشاهده می‌شود بیشتر خطاهای مربوط به ایستگاه‌های بندرعباس، سرداشت و آبعلی می‌باشد.

۵. سرعت باد: شکل (۷) هیستوگرام آنومالی داده‌های سرعت باد را برای ۵ خوشه شان می‌دهد. با توجه به توزیع آنومالی استاندارد شده، آستانه‌ها برای تعیین داده‌های پرت تعیین شده‌اند و مقادیری که خارج از آستانه‌های تعیین شده قرار دارند با رنگ قرمز مشخص شده‌اند. داده‌های پرت مشخص شده در این مرحله به تفکیک ایستگاه ثبت شدند. برای تحلیل مرحله دوم، داده‌های ساعتی همان روز و داده‌های



شکل ۷- هیستوگرام آنومالی داده‌های سرعت باد به تفکیک در هر خوشه برای تشخیص حدود داده‌های پرت

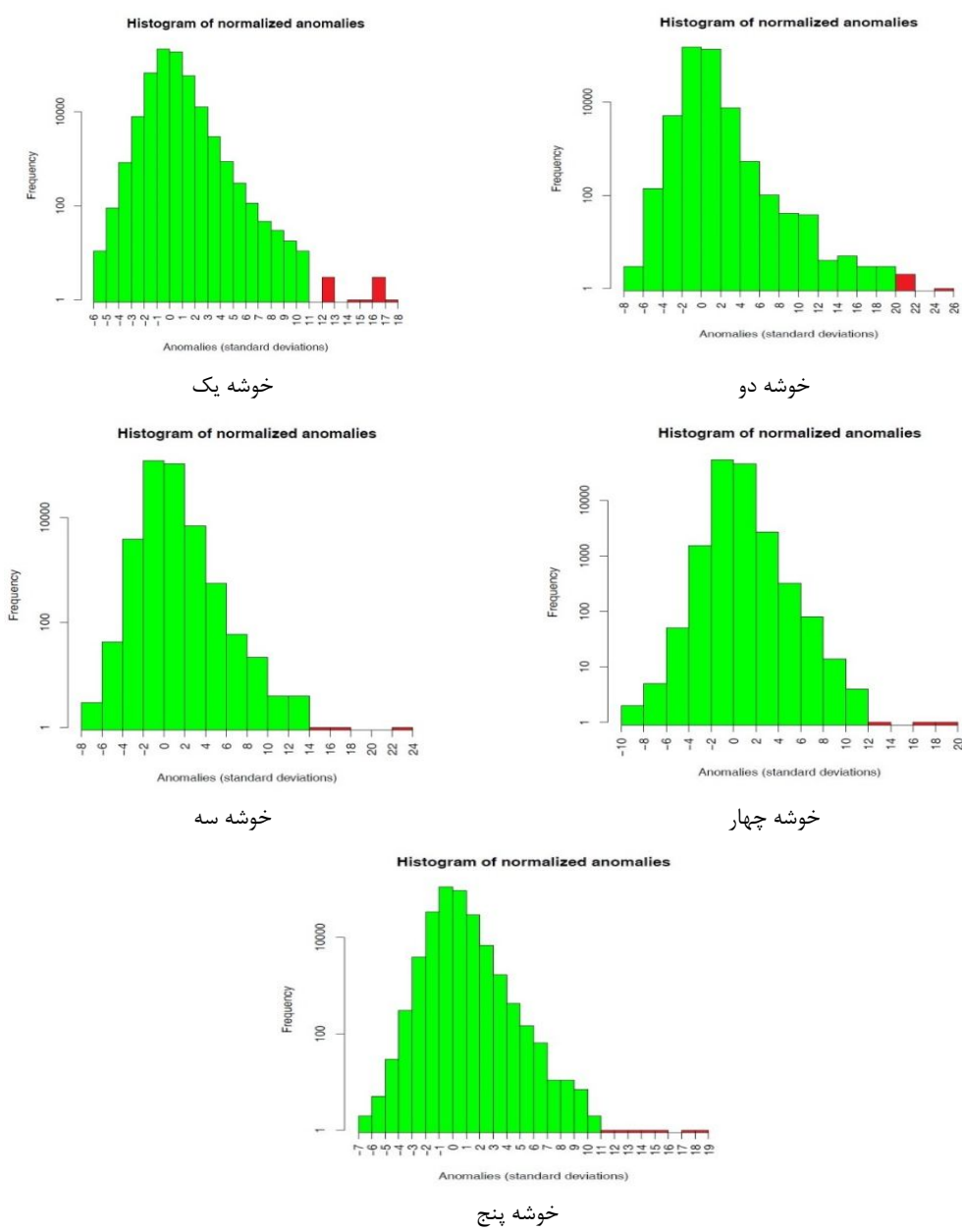
نواحی قرمز رنگ در شکل داده‌های پرت را نشان می‌دهد. برای تحلیل مرحله دوم، همخوانی داده مورد نظر با داده‌های ساعتی همان روز و داده‌های روزهای قبل و بعد مورد بررسی قرار گرفتند. علاوه بر این، برای داده‌های پرت بزرگ (بادهایی با سرعت بسیار زیاد)، وقوع پدیده خاص در آن روز بررسی شد، همینطور وقوع بادهایی با سرعت مشابه در ایستگاه مورد نظر در طول دوره آماری مورد مطالعه قرار گرفت و در صورتی که سابقه ثبت چنین بادهایی وجود نداشت و همینطور پدیده خاصی رخ نداده بود، به

شکل (۹) فراوانی خطاهای داده‌های پرت سرعت باد را به تفکیک در هر خوشه نشان می‌دهد. همانطور که مشاهده می‌شود، تعداد داده‌های پرت و خطاهای خوشه یک نسبت به سایر خوشه‌ها کمتر است و این مسئله با توجه به اینکه این خوشه ایستگاه‌های زیادی را شامل می‌شود قابل تأمل است.

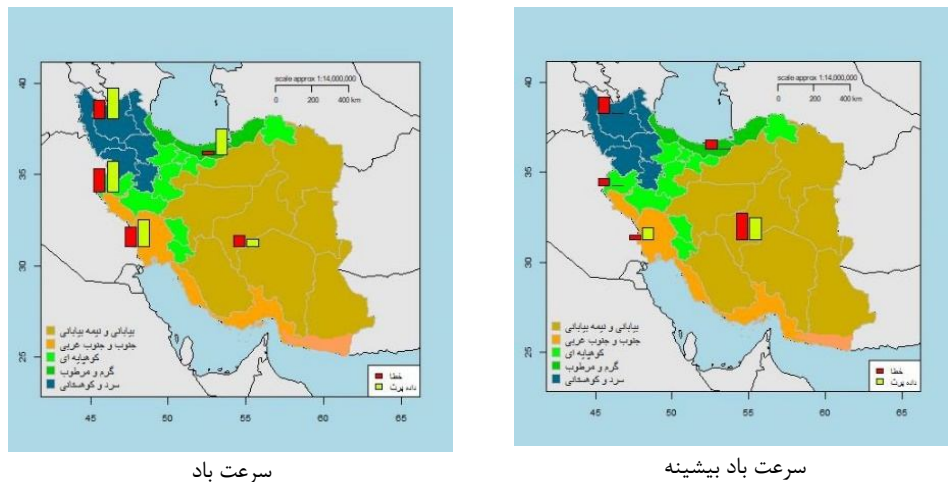
۶. بیشینه سرعت باد: شکل (۸) هیستوگرام آنومالی داده‌های سرعت باد بیشینه را به تفکیک در هر خوشه نشان می‌دهد. با توجه به توزیع آنومالی‌ها، آستانه‌ها برای تعیین نقاط پرت مشخص شده‌اند.

شد. شکل (۹) فراوانی خطاهای و داده‌های پرت پارامتر سرعت باد را به تفکیک در هر خوش نشان می‌دهد، همانطور که مشاهده می‌شود تعداد داده‌های پرت تشخیص داده شده و همینطور خطاهای در خوش یک بیشتر از سایر مناطق است و این امر با توجه به اینکه خوش یک ایستگاه‌های بیشتری را شامل می‌شود قابل انتظار است.

عنوان خطا تشخیص داده شدند. جدول (۲) نتایج را به تفکیک ایستگاه و تاریخ نشان می‌دهد. به طور کلی برای پارامتر بیشینه سرعت باد در مرحله اول ۴۱ داده پرت مشخص شد که از این تعداد ۲۷ داده خطا بودند. در بیشتر موارد خطاهای تشخیص داده شده به دلیل عدم همخوانی با داده‌های ساعتی یا داده‌های روزهای قبل و بعد بود. در موارد نادری همچون ایستگاه کهنه‌جگ به دلیل نامتعارف بودن مقدار، خطا شناخته



شکل ۸- هیستوگرام آنومالی داده‌های سرعت باد بیشینه به تفکیک در هر خوش برای تشخیص حدود داده‌های پرت



شکل ۹- فراوانی خطاهای داده‌های پرت به تفکیک در هر خوش

جدول ۱- خطاهای تشخیص داده شده برای داده های سرعت باد و سرعت باد پیشینه

ردیف	سرعت باد			بیشینه سرعت باد		
	ایستگاه	تاریخ	مقدار مشاهداتی	ایستگاه	تاریخ	سرعت باد
۱	زرفان	۱۲/۱۴/۱۹۹۱	۱۲,۴	گناباد	۲۰۱۷/۲۵/۱۰	۴۰
	جیرفت	۰۶/۳۰/۲۰۰۰	۱۵,۶	طبس	۲۰۱۶/۹/۵	۴۱
	(میانده)	۰۲/۰۹/۲۰۰۶	۲۰,۸	آردستان	۲۰۱۷/۱۲/۱۱	۵۰
	طنز	۰۲/۰۹/۲۰۰۶	۲۰,۸	سیرجان	۲۰۱۴/۷/۶	۵۰
		۰۲/۰۹/۲۰۰۶	۲۰,۸		۰۰/۰۱/۱۵/۱۲/۱	۵۰
		۰۲/۰۹/۲۰۰۶	۲۰,۸		۲۰۱۶/۳۰/۱۲	۴۰
		۰۲/۰۹/۲۰۰۶	۲۰,۸		۰۰/۰۱/۱۷/۲۹/۶	۵۰
		۰۲/۰۹/۲۰۰۶	۲۰,۸		۳۸ ۰۰/۰۱/۱۸/۲۴/۴	۳۸
		۰۲/۰۹/۲۰۰۶	۲۰,۸	بم	۲۰۱۸/۱/۷	۴۴
		۰۲/۰۹/۲۰۰۶	۲۰,۸	کهنهوچ	۰۰/۰۱/۱۴/۲۷/۵	۵۰
۲	بندرعباس	۱۲/۱۱/۱۹۹۵	۷	بندر ماهشهر	۰۰/۰۱/۱۵/۲۱/۲	۵۰
		۰۱/۱۱/۱۹۹۶	۶,۶	سراوان	۰۰/۰۱/۱۷/۲۴/۸	۸۰
		۰۲/۱۴/۱۹۹۶	۳,۶			
		۱۱/۱۹/۱۹۹۶	۸			
		۱۱/۱۸/۱۹۹۶	۱۴,۹	میاناب		
			۱۴,۹			
۳	اعلی	۰۰/۰۱/۰۶/۲۰۰۸	۲۹,۰	تهران (شمیران)	۰۰/۰۱/۱۹/۲۲/۹	۵۰
		۰۰/۰۱/۲۲/۲۰۰۹	۱۷,۶	کرمانشاه	۰۰/۰۱/۱۷/۲۷/۷	۵۰
		۰۰/۰۱/۰۷/۲۰۰۱۵	۲۱,۸	شهرکرد	۰۰/۰۱/۱۹/۱۹/۲	۴۸
	سرپل ذهاب	۱۲/۲۰/۲۰۰۲	۱۸			
		۱۱/۱۰/۲۰۰۳	۲۰,۱			
	ساوه	۰۰/۰۱/۱۵/۱۹۹۳	۲۲,۰			

آستارا ۳۵ ۲۰۰۱/۲۳/۲ ۳۵ ۲۰۰۱/۲۴/۲ باپلسر ۴۵ ۱۹۹۳/۱۳/۱۱ ۴۷ ۱۹۹۳/۱۴/۱۱	رشت ۱۳,۴ ۱۲/۲۸/۱۹۹۵
خوی ۵۰ ۲۰۱۹/۳/۸ تبریز ۳۸ ۲۰۱۴/۲۱/۴ ارومیه ۴۰ ۲۰۱۳/۲۵/۵	سردشت ۲۶,۷ ۲/۱۰/۱۹۹۲
۳۴ ۲۰۱۷/۷/۹ خرمده ۵۰ ۲۰۱۷/۲۳/۱۰ مریوان ۴۰ ۲۰۱۴/۱۶/۷	۳۲,۳ ۱۱/۰۷/۱۹۹۲ ۲۷,۳ ۰۲/۰۱/۱۹۹۳ ۳۰ ۰۳/۰۳/۱۹۹۳ ۳۲ ۱۱/۲۸/۱۹۹۴
۵۰ ۲۰۱۵/۸/۷	

مشخص شد و در مرحله دوم به ترتیب، ۵۶، ۲۰ و ۲۷ تعداد از این داده‌ها خطأ در نظر گرفته شدند. بررسی توزیع خطاهای داده‌های پرت در خوشة‌های مختلف نشان داد که ارتباطی بین میزان خطأ و منطقه مورد بررسی وجود ندارد. در مواردی که در یک منطقه شاهد خطاهای بسیار بیشتری نسبت به سایر مناطق هستیم غالباً به علت اشکال در ثبت داده در یک ایستگاه خاص می‌باشد. خطاهای به تفکیک ایستگاه و تاریخ گزارش شده‌اند. امید است که این نتایج بتوانند در مطالعات تغییر اقلیم مفید واقع شوند. محققان قبل از انجام هر گونه مطالعه‌ای بر روی داده‌ها می‌توانند خطاهای مشخص شده در داده‌ها را حذف یا اصلاح کرده و نتایج قابل اعتمادتری را ارائه کنند.

جمع‌بندی

در این مقاله، به تشخیص داده‌های پرت زمانی-مکانی پارامترهای فشار ایستگاه، فشار تبدیل شده ایستگاه به سطح دریا، فشار بخار، سرعت باد، سرعت باد بیشینه در ۱۴۳ ایستگاه هواشناسی کشور برای دوره نرمال اقلیمی ۱۹۹۱-۲۰۲۰ پرداخته شد. هدف اصلی از این مطالعه تعیین داده‌های پرت ناشی از خطأ بود و از این رو در دو مرحله کار انجام گرفت. ابتدا با استفاده از الگوریتم کلایماتول، داده‌های پرت مکانی مشخص شدند و در مرحله دوم با تحلیل‌های زمانی و هواشناختی به بررسی اینکه آیا این داده‌های پرت، خطأ هستند پرداختیم. به طور کلی در مرحله اول برای پارامترهای فشار ایستگاه، فشار ایستگاه تبدیل شده به سطح دریا، فشار بخار، سرعت باد و سرعت باد بیشینه به ترتیب ۴۱، ۵۲، ۹۳، ۴۲ و ۴۰ داده پرت

منابع

1. دین‌پژوه، یعقوب، فاخری، احمد، مقدم، محمد، میرنیا، میرکمال، و جهانبخش اصل، سعید. (۱۳۸۲). پنهان‌بندی اقلیمی ایران با استفاده از تحلیل‌های چند متغیره برای استفاده در مطالعات کشاورزی. م. دانش کشاورزی، ۱(۱)، ۹۰-۷۱.
2. علیجانی، بهلول. (۱۳۹۰). اقلیم‌شناسی سینوپتیک، چاپ چهارم، انتشارات سمت، تهران- ایران.
3. مسعودیان، سید. ابوالفضل. (۱۳۸۲). نواحی اقلیمی ایران. م. جغرافیا و توسعه. ۱(۲)، ۱۸۴-۱۷۱.
4. Barnett, V. and Lewis, T. (1994). Outliers in statistical data. John Wiley & Sons, 3rd edition.
5. Badripour, H. (1992). Islamic Republic of Iran (FAO, Report on the round table on pastoralism. FAO Technical Cooperation Programme, Project TCP/IRA/2255, Rome. FAOSTAT. 2004 (<http://www.fao.org/waicent/portal/statistics-en.asp>).
6. Barnett, V. and Lewis, T. (1994). Outliers in statistical data. John Wiley & Sons, 3rd edition.
7. Coll, J., Domonkos, P., Guijarro, J., Curley, M., Elke Rustemeier, E., Aguilar,

16. Prasanthi, M.L., Krishna Chaitanya, A., Sambasiva Rao, Dr. N. (2016). A Survey On Outlier Detection Methods In Spatio-Temporal Datasets, IJAERS, Vol-3, Issue-11, Nov-, 168-172.
17. Rahimzadeh, F., Nassaji Zavareh, M., (2014). Effects of adjustment for non-climatic discontinuities n determination of temperature trends and variability over Iran. *Int. J. Climatol.* 34:2079–2096.
18. Ranjan, K., Tripathy, D.S., Prusty, B.R., and Jena, D. (2020). An improved sliding window prediction-based outlier detection and correction for volatile time-series, *Int J Numer Model.* 34:e2816. <https://doi.org/10.1002/jnm.2816>.
19. Skrynyk, O., Aguilar, E., Guijarro, J., Yannick, L., Randriamarolaza, A., and Bubin, S. (2020). Uncertainty evaluation of Climatol's adjustment algorithm applied to daily air temperature time series .*Int. J. Climatol.* 41 (S1), E2395-E2419.
20. Schaeffer R. et al. (2012). Energy sector vulnerability to climate change: A review. *Energy*, 38, 1-12.
21. Tavakoli, M., and Mohmoudian, H.A., (2011). GIS based considerations for development in different Iranian climatic regions. *J. American. Science.* 7(4), 182–187.
22. Cheng, T. and Li, Z. (2004). A Hybrid Approach to Detect Spatial-temporal Outliers. In Proc. GeoInformaticas, p 173-178.
23. Yuxiang, S., Kunqing, X., Xiujun, M., Xingxing, J., Wen, P., and Xiaoping, G., (2005). Detecting spatio-temporal outliers in climate dataset: a method study, 2005 IEEE International Geoscience and Remote Sensing Symposium. IGARSS'05.
24. Wu, E., Liu, W., and Chawla, S. (2008). Spatio-temporal Outlier Detection in Precipitation Data. *Knowledge Discovery from Sensor Data.* 115-133.
- E., Walsh, S., and Sweeney, J. (2020). Application of homogenization methods for Ireland's monthly precipitation records: Comparison of break detection results. *Int. J. Climatol.* 40 (14), 6169- 6188.
8. Lu, C. and Liang, L.R. 2004. Wavelet Fuzzy Classification for Detecting and Tracking Region Outliers in Meteorological Data. *GIS'04*, pages 258-265.
9. Daget, J. (1979). Les modèles mathématiques en écologie. Collection d'Écologie 8, 172, Masson, Paris.
10. Eleonora Aruffo, E., Piero Di Carlo, P.D. (2019). Homogenization of instrumental time series of air temperature in Central Italy (1930–2015), *Clim. Res.* Vol. 77: 193–204, 193-203.
11. Guijarro, J.A. (2018). Homogenization of climatic series with Climatol. Available at: http://www.Climatol.eu/homog_Climatol-en.pdf [Accessed 28th March 2020].
12. International Energy Agency (IEA) (2013). Wind Power Technology Roadmap 2013 Edition.
13. Ma, L., Gu, X. and Wang, B. 2017. Correction of Outliers in Temperature Time Series Based on Sliding Window Prediction in Meteorological Sensor Network, *Information* 2017, 8(2), 60, <https://doi.org/10.3390/info8020060>.
14. N.R. Adam, V.P. Janeja, and V. Atluri. Neighborhood based detection of anomalies in high dimensional spatio-temporal Sensor Datasets. *SAC'04*, pages 576-583, 2004.
15. Paulhus, J.L.H., Kohler, M.A. (1952). Interpolation of missing precipitation records. *Monthly Weather Review* 80(8), 129-133.

